

23 捩斐川上流部の洪水解析

名古屋大学 正員 工博 西 畑 勇 夫

名古屋大学 の学生員 加藤 政治

＜まえがき＞

筆者らは、現在、揖斐川横山ダム上流流域を例にとって、洪水流出特性を検討しているが、本研究はその第一歩として行なった洪水解析の報告である。

＜対象流域と水文資料＞

揖斐川横山ダム上流流域の概要は、図1に示すとおりであつて、流域面積471km²、河川延長43kmである。解析した洪水は表1に示した4回の洪水で、水文資料としては、流域内8ヶ所の時間雨量および横山ダム地盤での時間流量記録を使用した。ただし、昭和40年9月の洪水時にはすでにダムが完成されていたので貯水池への流入流量記録を用いた。

表1 対象洪水特性表

生起年月日	生起原因	最大流量	最大降雨強度	總降雨量
S.28・9・25	台風13号	1,579 m ³ /s	23 mm/hr	296 mm
S.34・8・13	低気圧と不適競合	1,727 "	43 "	351 "
S.34・9・27	伊勢湾台風	2,654 "	51 "	378 "
S.40・9・15	秋雨前線	2,251 "	39 "	595 "

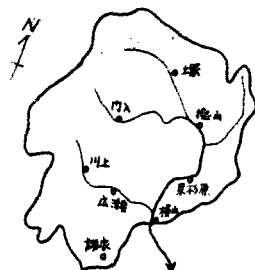


図1 流域概要図

＜解析方法＞

従来から多くの洪水解析法が提案されているが、ここでは主として本村俊晃博士の貯留廻数法を用い、あわせて立神博士の単位図法、佐藤博士の流出廻数法も適用して比較検討した。

貯留廻数法は、元来任意時刻の流出量がその時刻の流域貯留量と一意的な廻数関係にあるものと考える方法である。いま、時刻tにおける流入量I(t)（流入量を瞬間で表す場合は、Y(t)·Aとなる）がT時間後に貯留量S_tに貢献して、流出量が0となるものとすると、連続式は、

$$dS_t/dt = f \cdot I - O_t = f \cdot Y(t) \cdot A - O_t$$

$$O_t(t) = O(t + T)$$

となる。（いま、S_tとO_tの間に一価廻数（貯留廻数）

$$S_t = S_t(O_t)$$

の関係があるものと仮定すれば、この2式より降雨Y(t)による流出量0を算定することができる。上で子は流入係数とよばれ、水量の連続条件を適合させるとともに、流入量・流出量の観測値を総合的に修正する量である。しあわせそれが観測値が十分正確であれば、通常の流出率と一致する。したがって、貯留廻数法による流出特性の把握は、この貯留廻数の評価が最も主要なものとなることは云うまでもない。

＜解析結果＞

流出曲線：図2は揖斐川での解析結果の例を示したものである。図中太い実線は実測値、細い実線は貯留廻数による値である。比較のために単位図法、流出廻数法によるものをそれぞれ1実験線、2

矣鉛錠で示した。この図から貯留閑数法による計算結果が最もよく適合していることがわかる。これは貯留閑数としてそれぞれの洪水に最もよく適合したものを用いたのに對し、ここで単位図法と流出閑数法がいわゆる総合単位図あるいは総合流出閑数によるものであることを考えれば当然のことであるあるかもしれない。

時間的遅れ：これら4洪水での最大降雨強度時刻より最大流量生起時刻までの時間的遅れに単位時間の τ_1 （本解析では $1/2\text{ hr}$ ）を加えた τ_2 は表2に示したとおりであって、上記の単位図法・流出閑数法

にはこれを各洪水の lag time τ_2 として用いた。一方貯留閑数における lag time τ_2 は後述するように S_L と O_L とが一意的閑数関係となるように選択するべきで、その値は4洪水いずれの場合にも 1 hr であった。この及ば流域に流入した水が流出量に貢献するまでの時間的遅れを総合的に表現するものである。図3は木村博士が全口21の河川流域で行なった解析結果の及ぶ流域延長との関係を示したもので○印のプロットが揖斐川上流の値である。この図によれば揖斐川の遅滞時間はこれらの河川流域のうちほぼ標準的な性質をもっているものと思われる。

貯留閑数：みかけの貯留量 S_L の値は、ある時刻までの流入量と流出量の変化に依存している。そのため流入水が流出量に貢献するまでの遅滞時間が考慮されていることは云うまでもない。したがって任意の洪水において S_L と O_L の間に一意的な閑数関係が成立し、さらに及ば一定であることがから、流入と流出の変化特性をも含めて、河川流出の特性がこの貯留閑数で表現されることになる。

図4は、4洪水について算定した貯留量 S_L と流出量 O_L の関係を示したものである。 S_L あるいは O_L の値が小さい範囲を除くとそれぞれの洪水では、両者の間にほぼ一意的な閑数関係があることがわかる。いま、 S_L と O_L との関係を、

$$S_L = K O_L^p$$

と表現すると、 $K \cdot p$

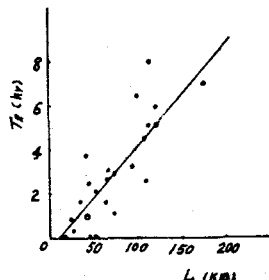


図 3 $T_2 - L$ 関係図

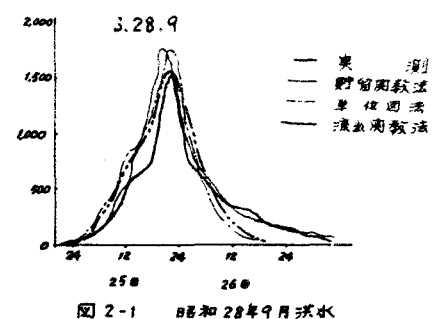


図 2-1 昭和 28 年 9 月 洪水

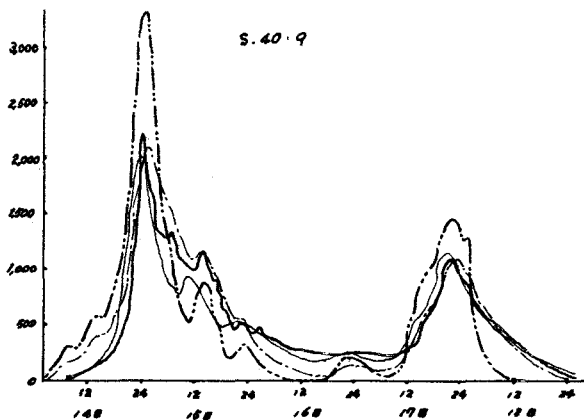


図 2-2 昭和 40 年 9 月 洪水

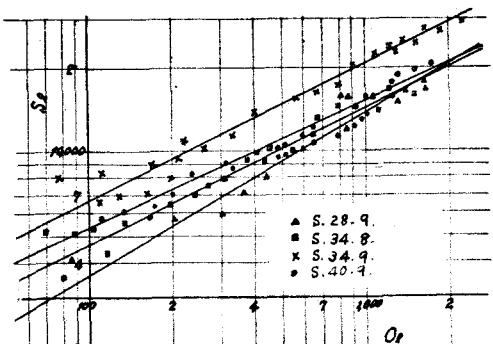


図 4 $S_L - O_L$ 関係図

の値は、それぞれの洪水では表2に示すようになる。このK・ γ の値は、Kは300~700程度であり、 γ は0.45~0.5程度である。また、ここで対象とした規模の洪水では、平均的には $\gamma = 0.47$, $K = 616$ となる。

一方、木村博士は多くの河川を解析した結果、単位有効面積当たりの S_0 と Q_0 を $S_0 \cdot Q_0$ とするとき、 S_0 と Q_0 の関係

$$S_0 = K Q_0^{\gamma}$$

におけるKと γ の値として $K = 40.3$, $\gamma = 0.5$ の値を与えている。このKの値は揖斐川では表2のとおりとなり、その平均値は、 $\gamma = 0.47$, $K = 385$ となる。これらの中は木村博士の値とよく一致しており、図3の γ の値をも考え合わせると、貯留関数法的な意味では揖斐川は、全河多くの河川流域のうちほぼ標準的な流出特性をもつているということができる。したがって、洪水の予測、解析に統合貯留関数法をかなりの精度で利用できるようである。いま、上の平均的な値を用いて統合貯留関数を作成して、最大流量を実測値と比較すると図5のようになり、誤差もあまり大きくはない。

しかし、上に議論したのは主洪水1波に対するもので、2山洪水（昭和34年8月洪水）の場合について検討すると $\gamma = 0.755$, $K = 0.9$ となり、主洪水1波で得られた値とは大きく異なっており、洪水波オ1波とオ2波では流出の性質がかなり違っていることを想像させる。また、主洪水波のみを対象とした場合も、より詳しく検討すると、とくにKの値には相当の差異がある。これらの差異は、貯留関数の本質的问题であるが、流入量と流出量の時間的変化の差によるものと思われる。また現象論的には、降水の場所的・時間的分布状況や流域の貯留状態などによるものと考えられる。とくに洪水波が2山となるとこの差が大きくなると考えられる。これらについては現在検討を進めているが、まだ明確な結論は得ていな。

＜あとがき＞

以上、貯留関数を主体として揖斐川上流部の流出について検討した結果、貯留関数法をかなりの精度で利用でき、遅滞時間はほぼ1 hrとしてよいことがわかった。今後さらに研究を進め、降水の場所的分布・時間的分布や流域の保溼状態といった現象論的な立場から考察して、揖斐川での洪水流出特性の実体を把握したいと考えている。最後に本解析に用いた資料は、中部地方建設局および中部電力株式会社より借用したものであることを記し、御好意に謝す次第である。

表2 諸係数値表

生起年月日	T_0	T_0	γ	K	K'	P
528・9・25	4 hr	1 hr	0.741	514	31.7	0.476
534・8・13	3 "	1 "	0.863	377	36.0	0.482
534・9・27	1 "	1 "	0.778	722	41.7	0.483
540・9・15	2 "	1 "	0.811	652	43.9	0.484

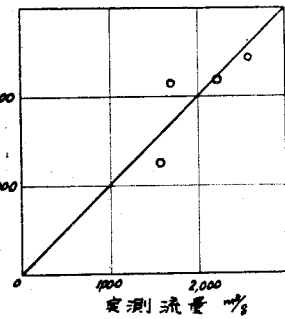


図5 実測値と算定値